

(19) (KR)
(12) (A)

(51) Int. Cl.⁷
G02F 1/1335

(11)
(43)

10-2004-0088380
2004 10 16

(21) 10-2004-0022361
(22) 2004 03 31

(30) JP-P-2003-00095011 2003 03 31 (JP)

(71) 가 가 가 가 4 1-1

(72) 가 가 가 가 4 1-1

가
가 가 가 4 1-1

가 가 가 가 4 1-1

가 가 가 가 4 1-1

(74)

:

(54)

(1) (2) , (2) , (3) , (1) (2) (1) (2) (4)

1			
2	1		
3	2		
4	3		
5	4		
6	5		
7	6		
8	7		
9	8		
10	9		
11	10		
12 45 °	10	2	132nm
13 45 °	10	2	138nm
14 45 °	10	2	143nm
15		,	
16			
17			
18			
19			

1, 10, 80 :

2, 23, 93 :

3, 21, 91 :

4, 30, 40, 50 :

5, 14 :

6, 22, 92 :

11, 81 : TFT

12 :

13, 83 : CF

15, 85 :

20, 90 :

24, 94 :

31 :

32 : TAC

33, 34, 46, 56, 67 :

35, 47, 63, 95 :

41 : /4

42, 44, 52, 54, 62, 65, 71, 73 :

43, 53 : /2

45, 55 : TAC/PVA/TAC

51 : /4

61 : 1

64 : 2

66, 101 :

68, 96 :

69 :

70 : 3

72 : 4

74 :

84 :

100 :

102 :

103, 104 :

105 :

106 :

107 :

가

(, 1(2001-108986)).

, 17

17 (82) (80), TFT (90) (81), CF() (83), (96)
) (85) . .
 (90) (91), (91) (93) (93), (94) (92),
 (93) (80) .

, , (90) (95) , (80)
 (84)

, (94) (80) 가

가 가

가

PPA (80) 가

가

가 90°

, 90°

18 3

18 (a) (102) (100) (103) , (80) (93) (101) (96)
) .
)

18 (b) (102) (100) (104) , , (93) (80) (101) (96)

18 (c) (102) (100) , (103 104) , (93) (80) (93) (101) ,

19

$$104) \quad (96) \quad n_2 = 1.4 \quad 1.6, \quad (80), \quad (100), \quad (93), \quad (103), \\ \text{가} \quad , \quad n_1, n_3 \quad (105) \quad .$$

가 , 가

, 18 (a) , 가 5 10

, 18 (c), 가 (93) , , 가 , (80)

, 18 (b) (106) , (100) (100) (101) (93) (96),
 (, 2(11-259007)).

, 18 (b) (93) (94) (80) 가 .
(80) (93) (100) . (93) (93) 가 .

, (96) (107), 가

, (100) (80) (100) 가

$$1, \quad 1$$

$$4) \quad (1), \quad (2), \quad (2), \quad , \quad (1), \quad (3), \quad (2), \quad (1), \quad (2)$$

(1) , (1) (1) (2) , 가 , 가 ,

「 」，「 」，

， (1) (粗面)(5) (TAC) ，

, (4) (2), (2) 가, (4) (2)

, (2) (4) .

$$, \quad (6) \quad . \quad (3) \quad (2) \quad , \quad (2)$$

A가, (2) , (2) , A'가 (2) , C
B . , (2) , ,

, (4)

, (2) (1)

$$\begin{array}{ccccccccc}
 & & (1) & & & (1) & & 1 & & 2 \\
 , & & , & 1 & , & & (1) & , & 2 & , & , \\
 (2) & & & & & & & & & & (2) \\
 & & , & 1 & & & 2 & & & . \\
 \end{array}$$

, 1 (1) , , , , 가 ,
2 (2) , 2 , ,
가 ,
(1)

, 1 2 , 가 1/4 95nm , 1 195nm 2 , 1

가 90°, (1), ,

, 1 2 가 1/4 95nm 0° 195nm
 $\frac{1}{4}$, 1 2 (遲相) 0° 30°

1 2 , , , , 0° 30°

가 90°, 가

, 1 2 가 1/4 95nm 195nm
 $\sqrt{4}$. 1 2 60° 90°

각각 90° 인 각을 갖는 삼각형은 직각삼각형이다.

$$2^{\circ} + 45^{\circ} \quad , \quad , \quad 1$$

2 /2 1 /4 /4

$$\begin{array}{ccccccc}
 & 1 & & 2 & +45^\circ & , & /2 \\
 & & & & , & & /4 \\
 45^\circ & 135^\circ & & & & &
 \end{array}$$

1 (1)

가 , (1)

2 , 가 1/2 190nm 390nm

$$, \quad 1 \quad \quad \quad 3 \quad \quad \quad /4 \quad , \quad \quad \quad /4$$

, 1 가 , 2 가

(1)

, 3 2 +45°, 3 1 2 2 가
1/4 95nm 195nm .

$$\begin{matrix} , & 3 & & /2 & & , & 1 & 2 & & /4 & & , & 1 & 3 \\ /4 & & & . & & & & & & & & & \end{matrix}$$

, 1/4 가 1 가 2 가

3
2 +45° , 2 , 1 , 2
2 1 1/4 95nm 195nm

2 3 /2 1 /4 . /4

, 2 /4 1 /4 2 /4 가 , 3 /4

(1)

가

가

가 , 가

가 , /4 2
가 , ,
(1) , ,

$$_{90^\circ}^{/4}, \quad (1)$$

$$, \quad , \quad (1)$$

2 , 가 1/2 190nm 390nm
3 4 , , 1 4
/4

1

3 2 4 +45° 1 2 , 3 2 , 3
3 1/4 95nm

195nm

Figure 1 is a scatter plot showing the relationship between the ratio of decomposition temperature (T_d/T_t) and the percentage of decomposition (H). The x-axis is labeled $T_d/T_t [\%]$ and the y-axis is labeled $H [\%]$. The data points are as follows:

$T_d/T_t [\%]$	$H [\%]$
10	10
20	20
30	30

The data points form a straight line starting at (10, 10) and ending at (30, 30), indicating a linear relationship where $H = T_d/T_t$.

4 3 , 3 (10) , 1
 (30) (34) (23) ,
 3 (24) (23) ,
 (34) , ,
 , 5 , 4
 5 4 , , 3
 가 ,
 (40) , /4 (41), (42), /2 (43),
 (44), TAC/PVA/TAC (45), (46) ,
 (23) ,
 0 4 (23) 가 가 , (23) (23) , (23) ,
 (23) , , ,
 , 6 , 5
 6 5 , , 3
 가 ,
 (50) , , (AG :
) /4 (51), (52), /2 (53), (54), TAC/PVA/TAC (55), (56)
 (56) (23) ,
 5 (23) 가 , , , (50)
 , 7 , 6
 7 6 , 2 , 3 (32) 가 , , ,
 (33) (31) (10) TAC ,
 6 , , (23) (10) (30) (33) , (34)
 , (23) (10)
 (23) , , ,
 3 5 (34) , , (34)
 , 8 , 7 , ,
 8 (a) (40) , /4 (41), (42), /2 (43), (44), TAC/PVA/T
 AC (45), (46) , (40) , /4 (41), (42), /2 (43), (44), TAC/PVA/T
 7 , , , , , , (4)

(47) , (23) ,
 , (23) (40) (10) , (10) ,
 , (40) , , (10) , (4)
 7) , 가 , 가 ,
 < 8 (b) >
 8 (b) (31) (31) , TAC (32) (33)
 , (35) (35) (10) ,
 , 9 , 8 , , 1
 9 (a) 8 (61) (62) , 1 (61) , (10) , 1
 , 2 (64) (65) (68) , (66) , (67) (23)
 , 1 (61) 2 (64) (66) , (69)
 9 (b) , , 1 (61) (64) A , 2 (64) /4
 ± A , , /4 , 2 (64) /2 , , /4
 1 (61) /4 , , , ,
 8 , 2 , 1 (61) (64) (66) (10) (23) , , , ,
 가 , , , , , , , ,
 , /4 (66) , , , , (10)
 , 10 , , , 9 , , , , 8
 , 10 (a) 9 (61) (63) , , , , 1 , ,
 , 2 (64) (67) (66) (23) (65) , (71) (68) 3 , (70)
 , 1 (61) 2 (64) 3 (64) (70) (66) , , (69)

, $R_{th} = 0\text{nm}$, $R_{thLC} \text{ 가 } R_{thF}$ 50nm $R_{thF} = 50\text{nm}$

, $R_{th} = 0\text{nm}$, 가 $\pm 10\%$, 가 , $R_{th} \pm 50\text{nm}$

137.5 275nm . 137.5 275nm

n_o , , R_{thLC} , d_{LC} , , n_e ,
 $\Delta R_{thLC} = (n_e - n_o) \times d_{LC} = \Delta n \times d_{LC}$

n , d_{LC} , γ , , d_{LC} ,
 R_{thF} , n_x , n_y , d_F , , n_z
 $\Delta R_{thF} = [(n_x - n_y)/2 - n_z] \times d_F$

12 (a) (b) 2 550nm, /4 132nm 137.5nm 1, TAC, γ
 5nm

$R_{th} = 0nm$ 1, CR 2, $R_{th} = \pm 50nm$ 0° 180°
 0° (180°) ± 30°, CR 30° 30° 30°, 150°, 150°

13 (a) (b) 2 550nm, /4 138nm 137.5nm, 1, TAC, γ

$R_{th} = 0nm$, CR, γ , $R_{th} = \pm 50nm$ 45° 135°

$R_{th} \gamma$, $R_{th} = 0nm$, $R_{th} = 0nm$, CR, 12
 2, $\gamma 132nm$, 1/10 1/20

14 (a) (b) 2 550nm, /4 143nm 137.5nm 1, TAC, γ
 nm, γ

$R_{th} = 0nm$, 1, CR, 2, $R_{th} = \pm 50nm$ 90°
 60° 120°, 90° ± 30°, CR

1

, UV

, 8 9 , 10 , [

1

$$(-1) \quad (1) \quad (4) \quad (2) \quad , \quad (3) \quad (2) \quad (1) \quad (2) \quad , \quad (1) \quad (2) \quad ,$$

$$(\begin{array}{c} 2 \\ 1 \end{array}) \quad (2) \quad . \quad (1) \quad (5)$$

$$(\quad 3) \qquad \qquad \qquad (2) \qquad \qquad \qquad (1)$$

(4) 3

$$\begin{pmatrix} 5 \\ 3 \end{pmatrix} \quad 4 \quad , \quad \text{가}$$

$$(-6) \quad (1) \quad (4) \quad (2) \quad (2) \quad , \quad (4) \quad (2) \quad , \quad (1) \quad ,$$

(7) (4)가, 가 , 6

(8) (4) , (2) 가 가

(9) (4) , (2) 가

(10) (2) (4) 6

(11) (4) 가

- (12) (1), (2) (3), (1) (2) (4) (2), (1), (2), (4)
- (13) 1 (1), 1 (1) 2 2 , , (2) (2)
- (14) 1 2 가 0 ° 1/4 95nm 30 ° 195nm , 1
2 13
- (15) 1 2 가 가 60 ° 1/4 95nm 90 ° 195nm , 1
2 13
- (16) 1 가 가 2 2 +45 ° 1/4 95nm 195nm , 1 2
2 13
- (17) 3 2 , 가 1/2 190nm 390nm
13
- (18) 2 3 2 +45 ° 1/4 95nm 195nm , 3 1 2
가 가 17
- (19) 2 3 2 +45 ° 1/4 95nm 195nm , 2 1 , 1
2 17 가 가
- (20) 3 2 4 , 가 1/2 190nm 390nm
13
- (21) 3 4 2 +45 ° 1/4 95nm 195nm , 3 1 2 , 2
2 20 가 가
- (22) 1 13 21 13 21
- (23) 1 13 21 13 21
- (24) 21 (2) 13
- (25) 13 1 21 (1) 13

(26) 1 2 , 13 21

$$(-27)(2)(13)(21),$$

가 , ,

(57)

1.

2.

3.

$$, \quad 1 \quad , \quad 2 \quad , \quad , \quad , \quad , \quad , \quad 1$$

$$, \quad 1 \quad , \quad 2 \quad , \quad , \quad , \quad , \quad , \quad 1$$

4.

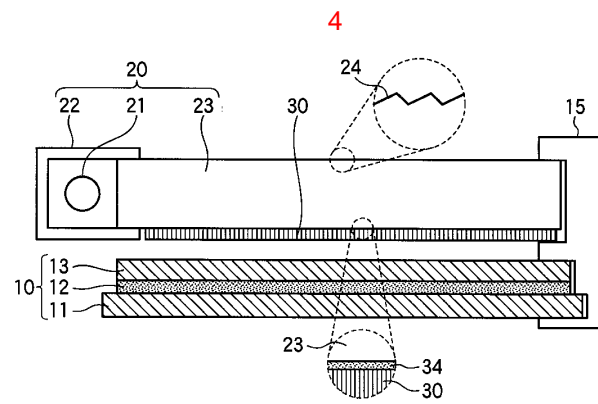
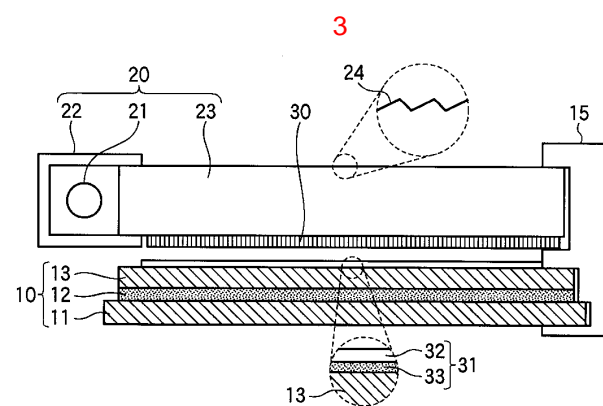
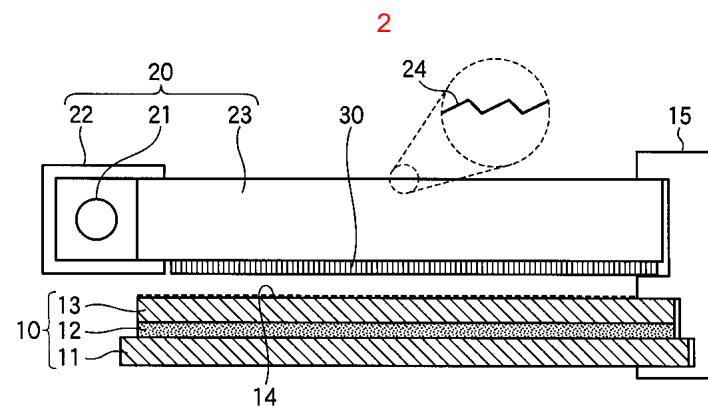
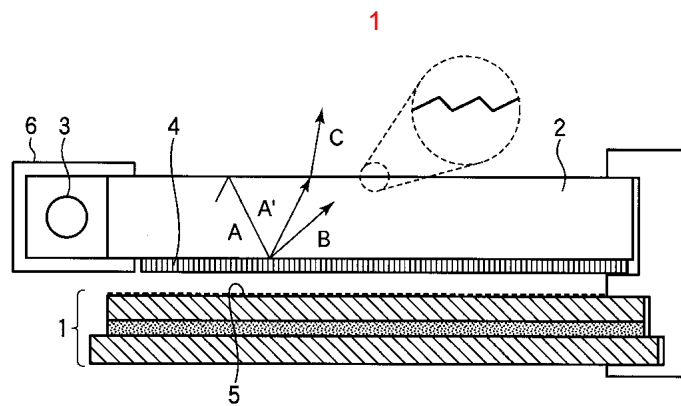
3

2 , 가 1/2 190nm 390nm

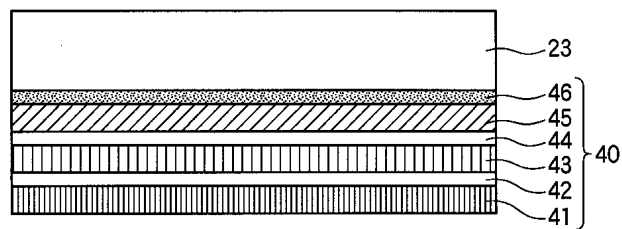
5

3

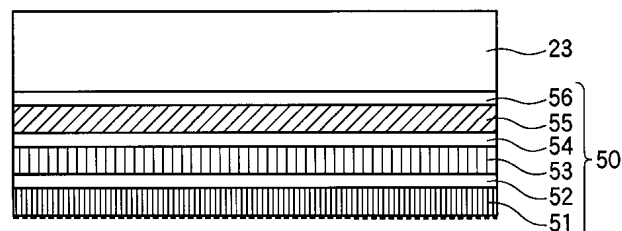
, 가 1/2 190nm 390nm



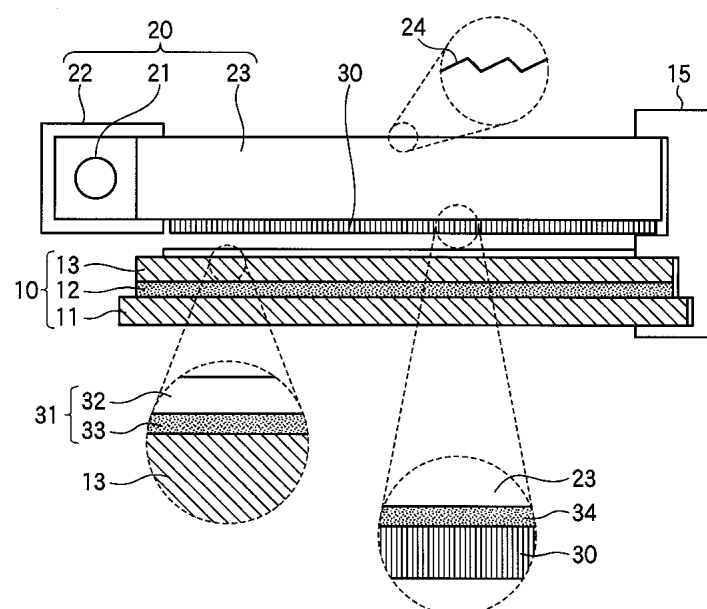
5



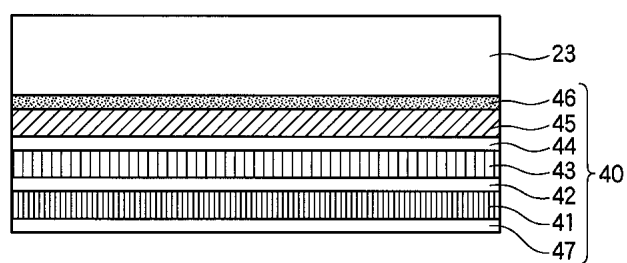
6



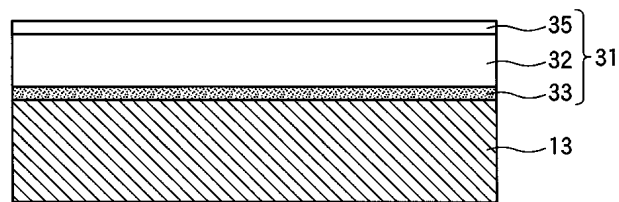
7



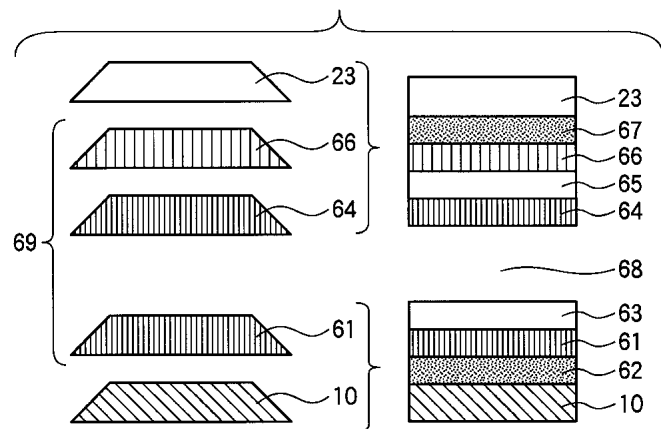
8a



8b



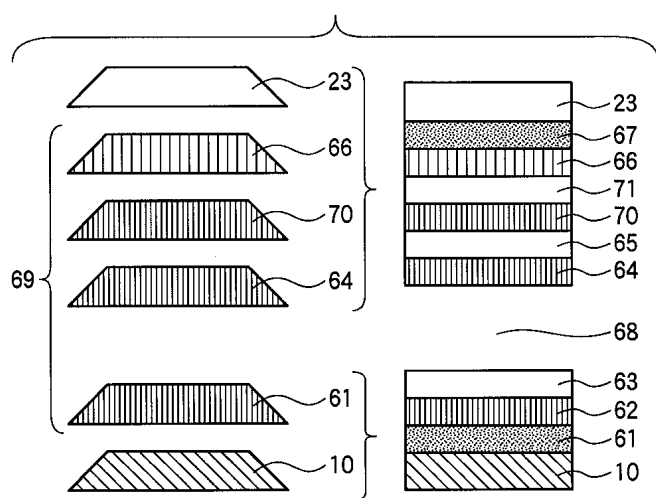
9a



9b

	예 1	예 2
제1 위상차 판	A	$\lambda/4$ 판
제2 위상차 판	$\lambda/4$ 판 \pm A	$\lambda/2$ 판
기능	$\lambda/4$ 판	광대역 $\lambda/4$ 판

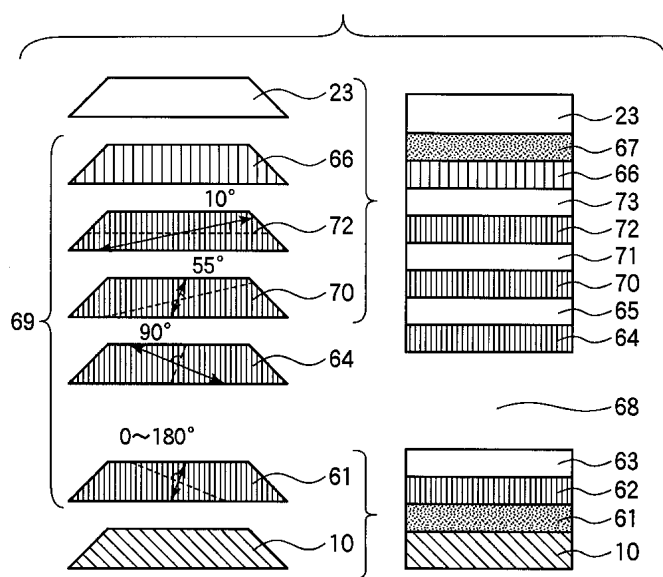
10a



10b

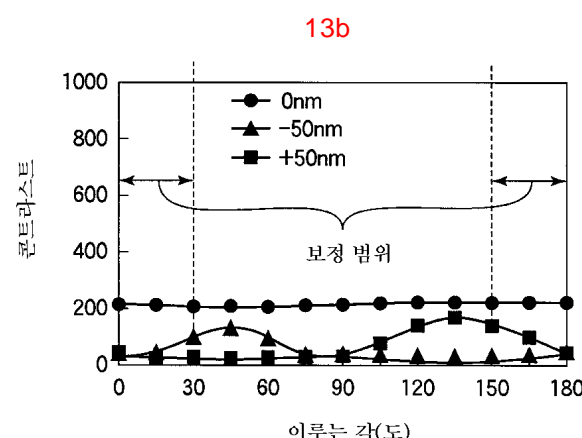
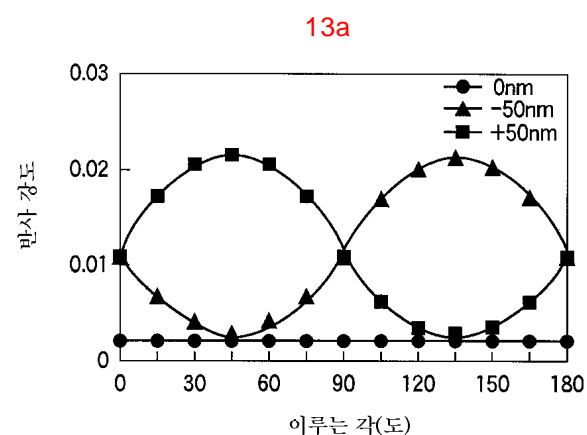
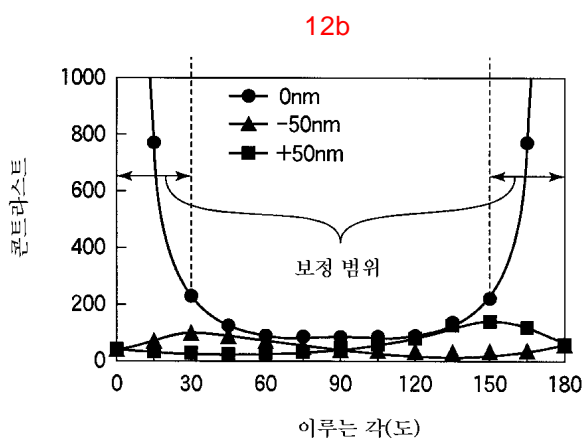
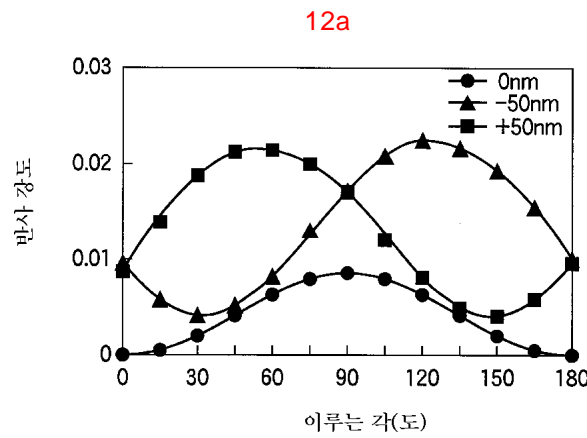
	예 1	예 2
제1 위상차 판	A	$\lambda/4$ 판
제2 위상차 판	$\lambda/4$ 판 + A	$\lambda/2$ 판
제3 위상차 판	$\lambda/2$ 판	$\lambda/2$ 판
기능	광대역 $\lambda/4$ 판	광대역 $\lambda/4$ 판 + 광학 보상판

11a

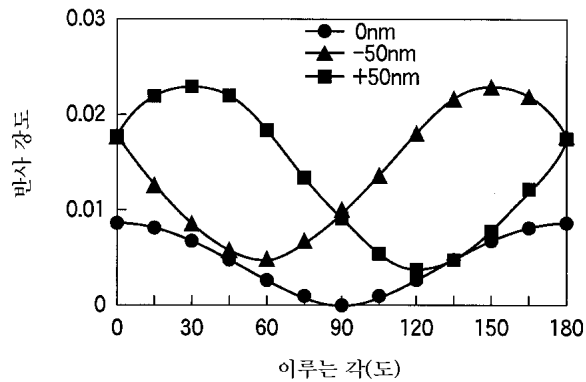


11b

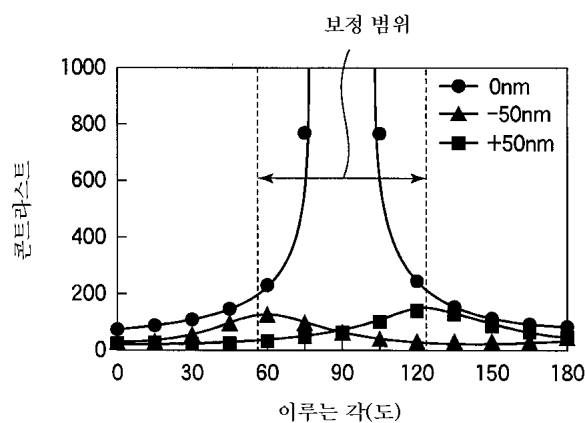
제1 위상차 판	A
제2 위상차 판	$\lambda/4$ 판 + A
제3 위상차 판	$\lambda/2$ 판
제4 위상차 판	$\lambda/2$ 판
기능	광대역 $\lambda/4$ 판 + 광학 보상판



14a



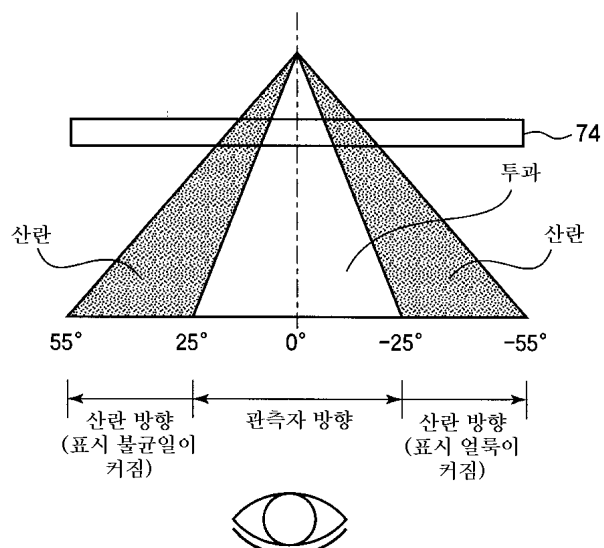
14b



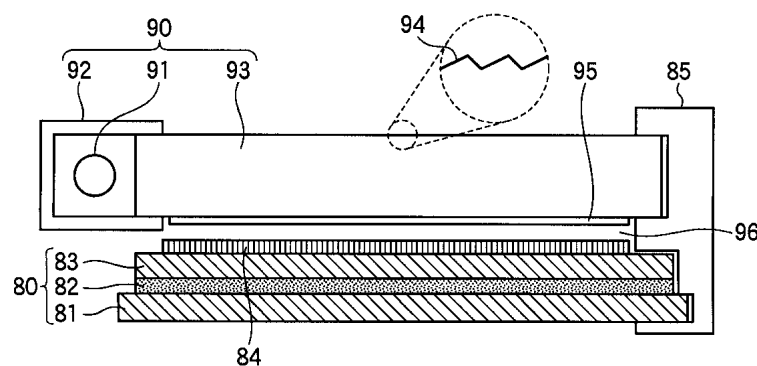
15

광 확산체 함유 접착제	페이즈 값	모아래	간접 줄무늬	비고
편광판과 도광판 사이	20	×	×	
	40	△	×	
	60	○	△	상 흐려짐, CR 저하
제1 위상차 판과 액정 패널 사이	20	×	△	
	40	×	○	
	60	△	○	CR 저하
없음	-	×	×	
AG 처리만	20	×	△	표면 손상

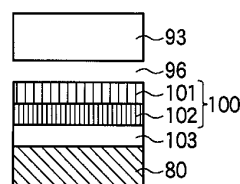
16



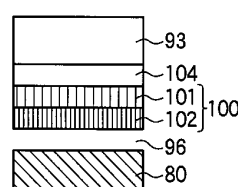
17

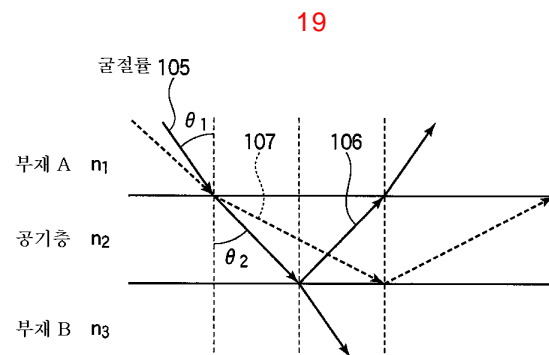
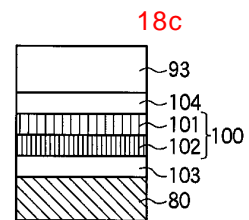


18a



18b





专利名称(译)	反光液晶显示器		
公开(公告)号	KR1020040088380A	公开(公告)日	2004-10-16
申请号	KR1020040022361	申请日	2004-03-31
[标]申请(专利权)人(译)	夏普株式会社		
申请(专利权)人(译)	夏普株式会社		
[标]发明人	HAMADA TETSUYA 하마다데쓰야 TASHIRO KUNIHIRO 다시로구니히로 SUGAWARA MARI 스가와라마리 SUZUKI TOSHIHIRO 스즈끼도시히로 YOSHIDA HIDEFUMI 요시다하데후미		
发明人	하마다데쓰야 다시로구니히로 스가와라마리 스즈끼도시히로 요시다하데후미		
IPC分类号	G02F1/1335 G02B6/00 G02F1/13357 G02F1/13363		
CPC分类号	G02F1/133615 G02B6/0051 G02B6/0056 G02F1/133504 G02F1/133528 G02F1/13362 G02F1/13363 G02F2001/133541 G02F2001/133616		
代理人(译)	Jangsugil Juseongmin		
优先权	2003095011 2003-03-31 JP		
其他公开文献	KR100809794B1		
外部链接	Espacenet		

摘要(译)

反射型液晶显示装置技术领域本发明涉及一种反射型液晶显示装置，其目的在于抑制由空气层引起的界面反射引起的对比度的劣化，而不会降低显示质量。为此，导光板2，设置在导光板2的端面侧的光源3和导光板(导光板)3设置在与反射型液晶面板1相对的一侧，反射型液晶面板1的反射型液晶面板1的与导光板2相对的一侧的图2所示的反射型液晶面板1包括与光反射板2相距预定距离的反射型液晶面板1。1指参照液晶面板，导光板，偏光元件，反射器和TFT基板。

도면2

